



Captatio benevolentiae :
bullens

Les équations aux dérivées partielles:



Questions
Outils
réponses

D'après
 Frank MORGAN
 Geometric Measure Theory.
 A Beginner's Guide, 2009

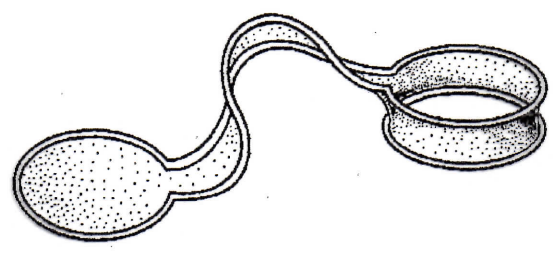


Figure 1.1.1. The surface of least area bounded by two given Jordan curves.

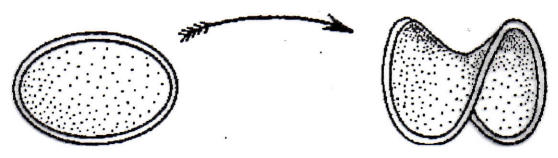
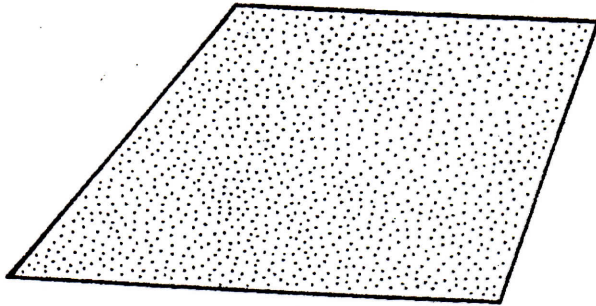


Figure 1.2.1. Surface realized as a mapping, f , of the disc.

1 UN EXEMPLE : THÉORIE DES SURFACES MINIMALES



The plane

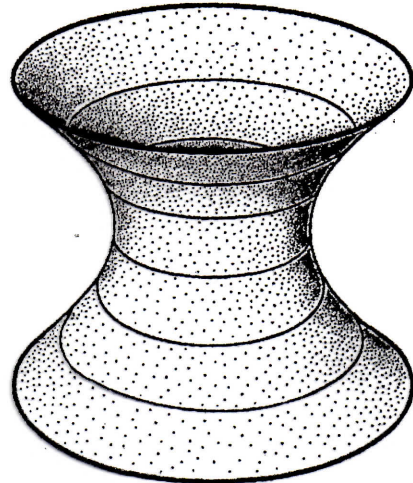
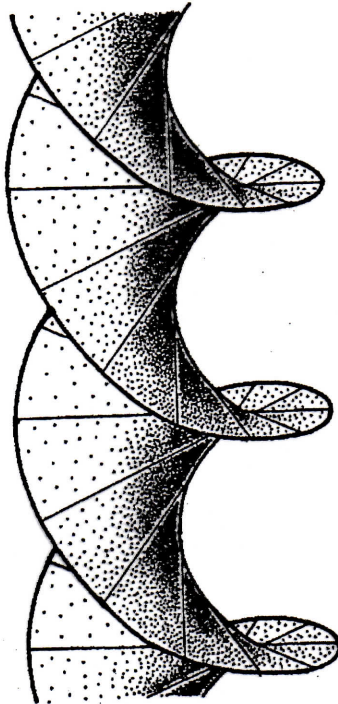
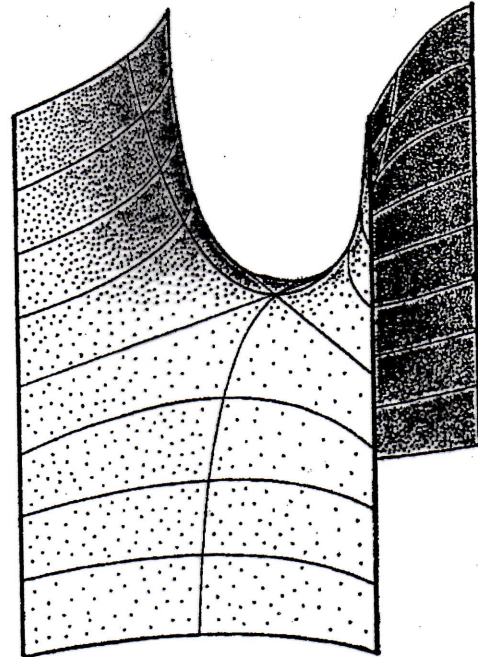
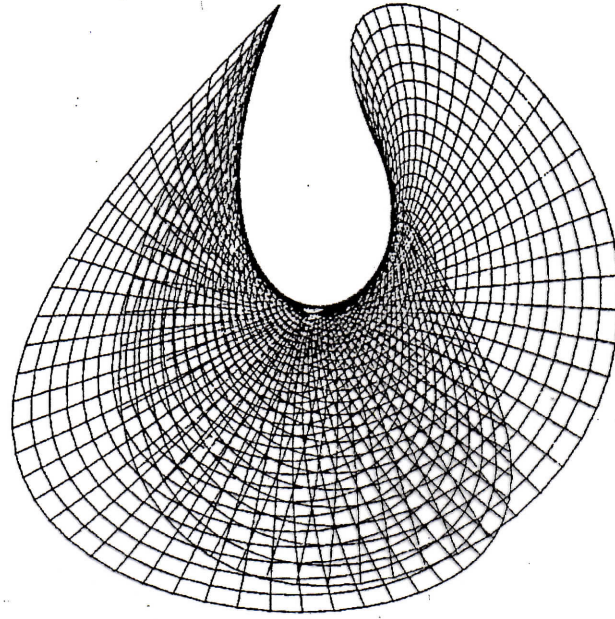
The catenoid
 $\sqrt{x^2 + y^2} = \cosh z$
Euler, 1740The helicoid
 $y \tan z = x$
Meusnier, 1776Scherk's surface, 1835
 $e^z \cos y = \cos x$

Figure 6.1.1. Some famous minimal surfaces.



$$\begin{aligned}x &= \operatorname{Re}(w - \frac{1}{3}w^3) \\y &= \operatorname{Re}(i(w + \frac{1}{3}w^3)) \\z &= \operatorname{Re}(w^2) \quad w \in \mathbb{C}\end{aligned}$$

Figure 6.1.2. Enneper's surface, 1864.

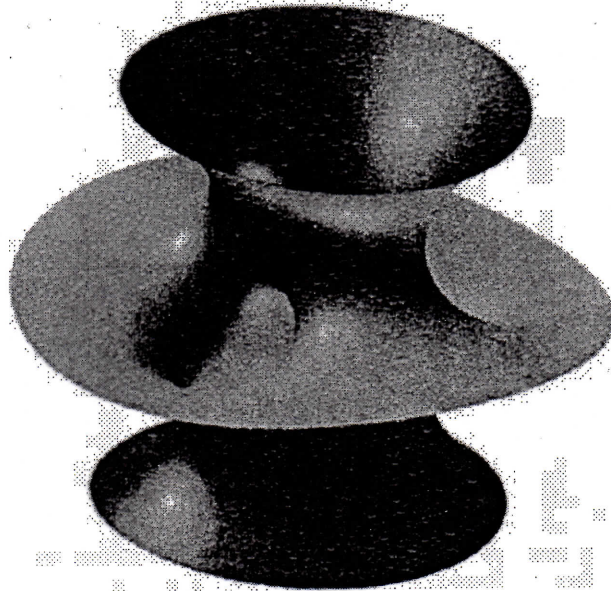


Figure 6.1.3a. The first modern complete, embedded minimal surface of Costa and Hoffman and Meeks (also see Hoffman). Courtesy of David Hoffman, Jim Hoffman, and Michael Callahan.

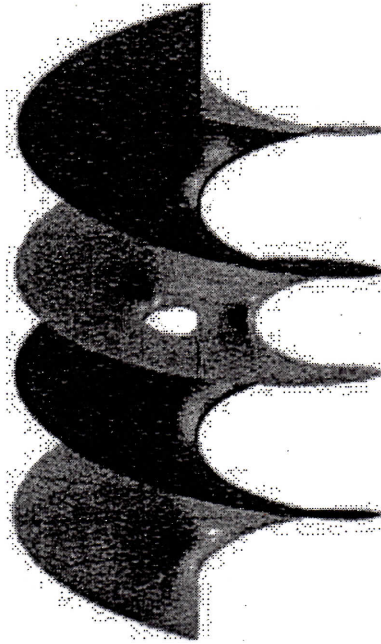


Figure 6.1.3b. One of the latest new complete, embedded minimal surfaces: the genus one helicoid, discovered by David Hoffman, Hermann Karcher, and Fusheng Wei (1993). Proved embedded by Weber, Hoffman, and Wolf. Computer-generated image by James T. Hoffman at the GANG Laboratory, University of Massachusetts, Amherst. Copyright GANG, 1993.

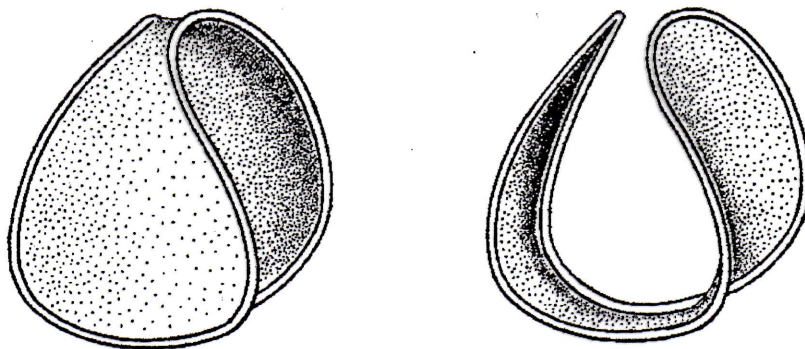


Figure 6.1.4. Area-minimizing surfaces with the same boundary as Enneper's surface.

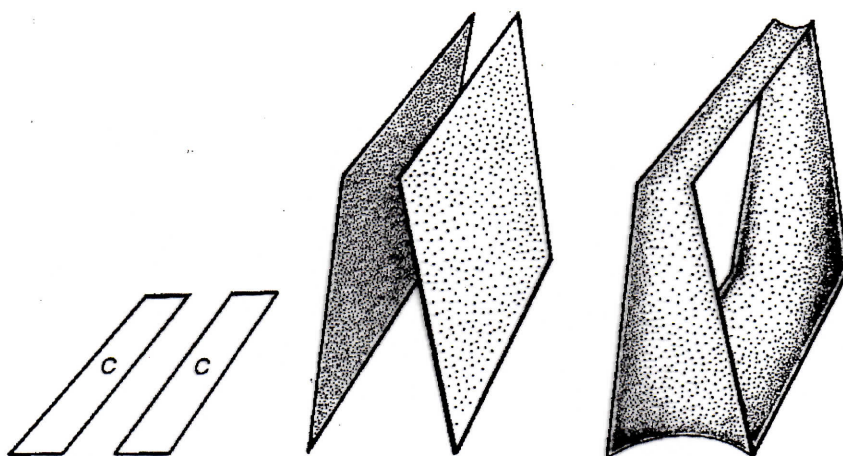


Figure 6.1.5. A minimal graph over a *nonconvex* region C need not be area minimizing. The second surface has less area.

Etude de cas : équation des surfaces minimales

6

Surface paramétrée (la plus simple):

$$\begin{cases} x = x \\ y = y \\ z = u(x, y) \end{cases}$$

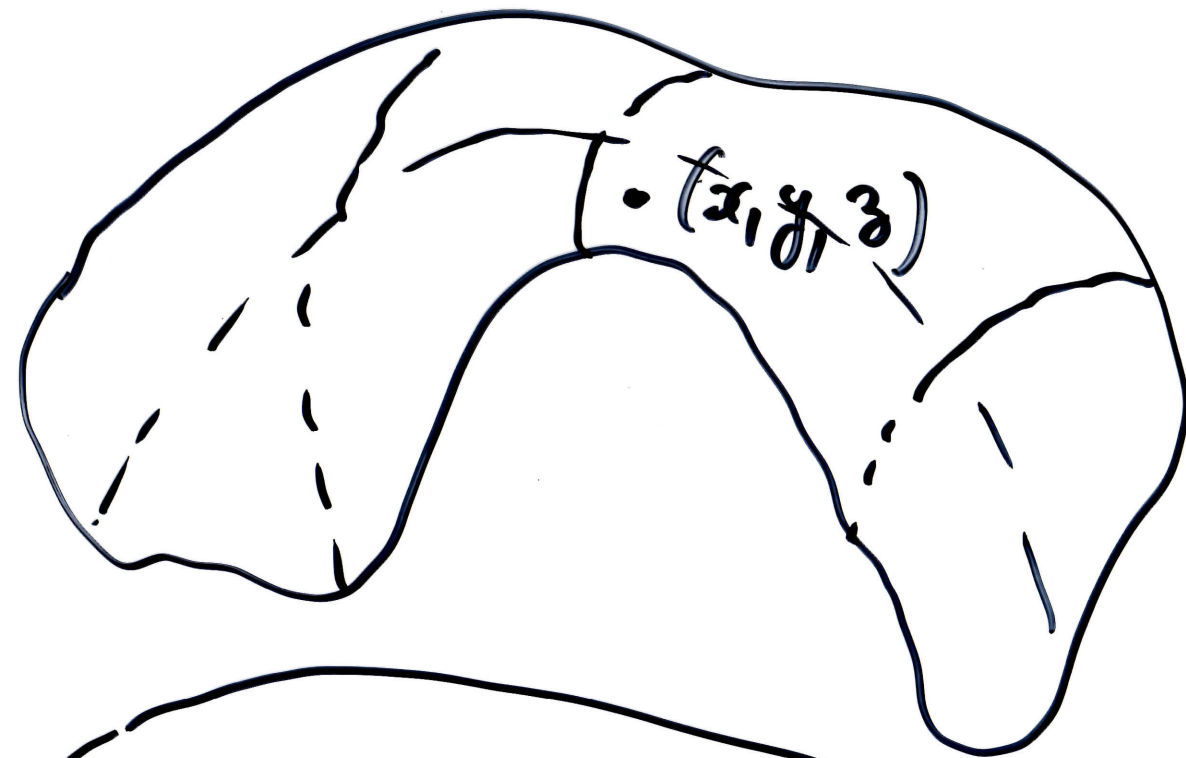
$$u \in C^2$$

$$D \subset \mathbb{R}^2$$

Bord fixé:

u donnée sur ∂D

$$u = u_0 \text{ sur } \partial D$$



Aire: $\mathcal{A} = \mathcal{A}(u) = \int_D \sqrt{1 + |\nabla u|^2} \, dx \, dy,$

$$\nabla u = \begin{pmatrix} u_x \\ u_y \end{pmatrix}.$$

Problème satisfait par u : $\min \int_D \sqrt{1 + |\nabla u|^2}$
 $u = u_0 \text{ sur } \partial D$

Pb variationnel (= d'optimisation)

contraint



Equation aux dérivées partielles (EDP)
avec des conditions aux limites (CL)

En faisant de petites variations (= calcul des variations)⁸

$$\Rightarrow \int_D \frac{\nabla u \cdot \nabla \varphi}{\sqrt{1 + |\nabla u|^2}} = 0, \forall \varphi \in C_c^2(D)$$

formulation variationnelle

Formule d'intégration par parties (IPP)

Sous hypothèses de régularité

$$\int_{\Omega} f g_x = \int_{\partial\Omega} \nu_x f g \, d\sigma - \int_{\Omega} f_x g$$

\Rightarrow

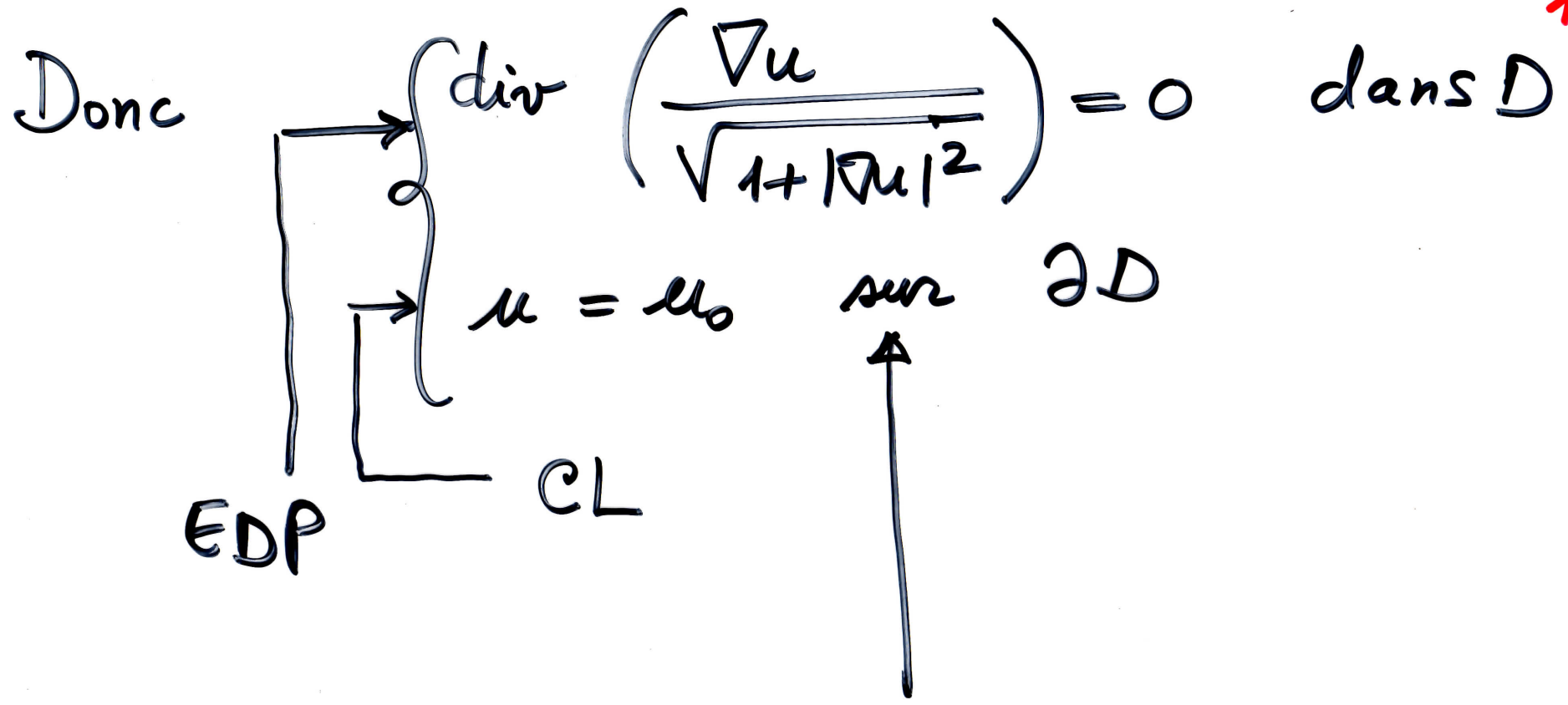
$$-\int_D \operatorname{div} \left(\frac{\nabla u}{\sqrt{1+|\nabla u|^2}} \right) \varphi = 0, \quad \forall \varphi \in C_c^2(D)$$

où $\operatorname{div} F = \partial_1 F_1 + \dots + \partial_n F_n$

↑
champ de vecteurs: $F: \underset{\mathbb{R}^n}{\Omega} \rightarrow \mathbb{R}^n$

Principe de localisation

$$f \in C(\Omega) \quad \Omega \subset \mathbb{R}^n \quad \int_{\Omega} f \varphi = 0, \quad \forall \varphi \in C_c(\Omega) \Rightarrow f = 0.$$



la surface s' appuie sur une courbe Γ

Thm (Douglas, Rado, 1930) Si Γ est une courbe de Jordan, alors il existe une surface minimal s'appuyant sur Γ .

Thm (Fleming 1962, Almgren 1966, Simons 1968; Bombieri, De Giorgi, Giusti 1969)

"Avec les mains"

Ceci reste vrai en dimension $n \leq 7$,
mais faux en dimension $n \geq 8$

Outils / approche

"programme de Hilbert"
(apocryphe.....)

Programme de Hilbert

- élargir le cadre fonctionnel: accepter des compétiteurs moins réguliers que les surfaces paramétrées

Théorie géométrique de la mesure (Hausdorff, Whitney, FEDERER)

- obtenir l'existence d'un minimum
- Méthode directe

- prouver la régularité de la solution

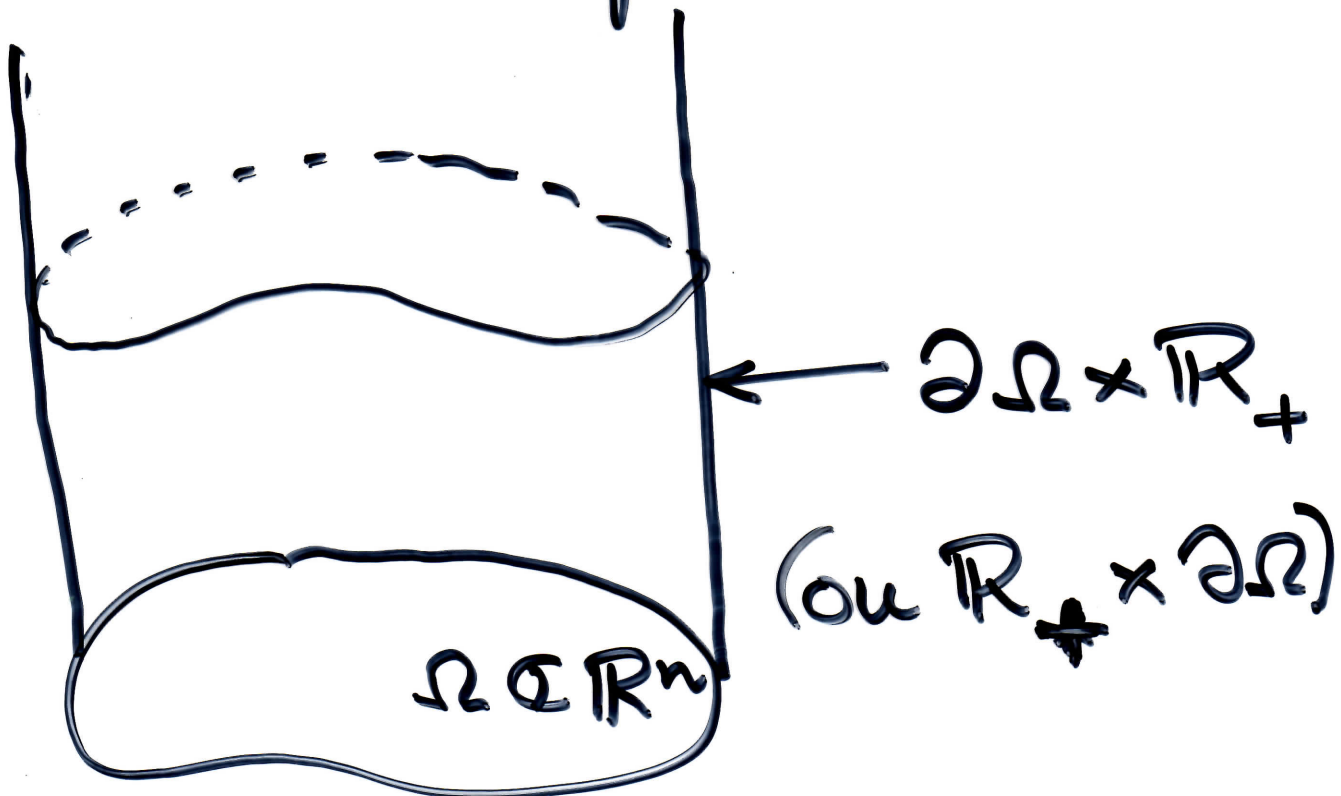
Théorie de la régularité (Bernstein, ..., FEDERER, ALMGREN)

2. Les Équations les plus simples

a) Equation de la chaleur

$u = u(t, x)$ = température

↑ ↑
 temps Coordonnées Spatiales



EDP

$$\begin{cases}
 u_t - \Delta_x u = F(t, x) & \text{dans } \Omega \times \mathbb{R}_+ \\
 u(0, x) = u_0(x) & \text{dans } \Omega \\
 u(t, x) = v(t, x) & , t \geq 0, x \in \partial\Omega
 \end{cases}$$

CL

Condition initiale (CI)

CL de Dirichlet: on prescrit (mesure) la température au bord

Variante:

CL: $\frac{\partial u}{\partial \nu_x}(t, x) = v(t, x)$: on prescrit le flux de chaleur au bord

b) Equation de Laplace (Poisson)

15

Décrit les états d'équilibre thermiques

$$\text{EDP} \rightarrow -\Delta u = f(x) \quad \text{dans } \Omega$$

Trois conditions aux limites usuelles

$$\text{Dirichlet: } u(x) = \varphi(x), \quad x \in \partial\Omega$$

$$\text{Neumann: } \frac{\partial u}{\partial \nu}(x) = \varphi(x), \quad x \in \partial\Omega$$

$$\text{Robin: } a(x)u(x) + \frac{\partial u}{\partial \nu}(x) = \varphi(x), \quad x \in \partial\Omega$$

c) Equation de Schrödinger

$$\text{EDP } i u_t + \Delta_x u = V(t, x) u$$

\uparrow \uparrow
 u = u(t, x) ; $|u|^2$ est une densité. potentiel

$$\int_{\mathbb{R}^n} |u|^2(t, x) dx = 1$$

CI $u(0, x) = u_0(x)$

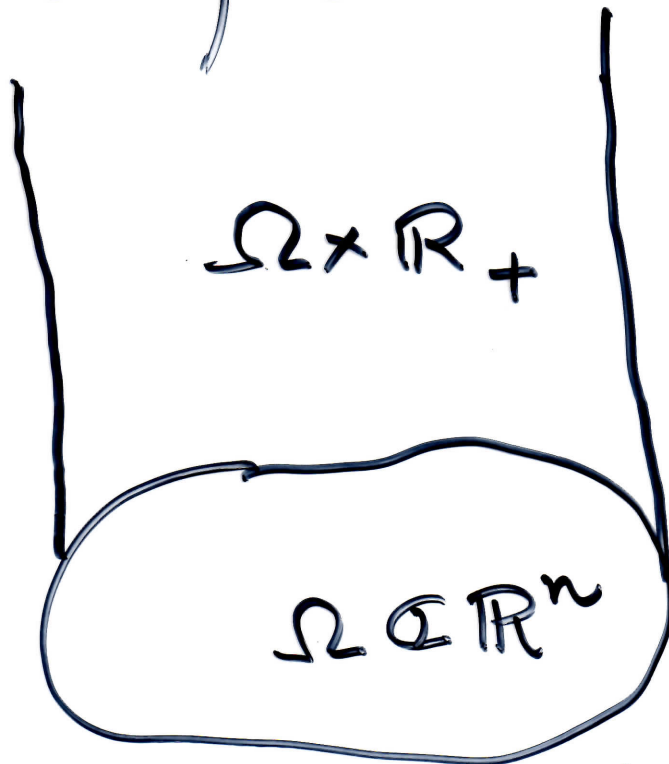
d) Equation des ondes

$$u = u(t, x) = \text{petites vibrations}$$

temps

coordonnées
spatiales

longitudinales d'une corde, surface
etc. élastique



$$\begin{array}{l} \text{EDP} \left\{ \begin{array}{l} u_{tt} - \Delta_x u = F(t, x) \text{ dans } \Omega \times \mathbb{R}_+ \\ \text{CI} \left\{ \begin{array}{l} u|_{t=0} = u_0 \\ \text{CI} \left\{ \begin{array}{l} u_t|_{t=0} = v_0 \\ \text{CL} \left\{ \begin{array}{l} u(t, x) = \sigma(t, x), \quad t \geq 0, x \in \partial\Omega \end{array} \right. \end{array} \right. \end{array} \right. \end{array} \right. \end{array}$$

e) Equation de transport

$u = u(t, x) =$ vitesse des voitures

\leftarrow temps \rightarrow coordonnées spatiales

EDP $u_t + \operatorname{div}_x [f(u)] = F(t, x)$

CI $u|_{t=0} = u_0$

Et bien d'autres...

Voir Lawrence Evans,
Partial Differential Equations,
2010

p. 3-6

(et la référence à
Zwillinger)

Classification

- $u_t + \operatorname{div}_x (f(u)) = 0$

du 1^{er} ordre

théorie locale ✓

théorie globale

- $\Delta u = 0$ 2nd ordre, linéaire,
à coefficients constants

"Symbole": $x_1^2 + \dots + x_n^2$

$n=2$: $x_1^2 + x_2^2 = \text{cste} \rightarrow \text{cercle}$

Equation elliptique

- $\partial_t u - \Delta_x u = Lu = 0$

Parabolique

- $\partial_t^2 u - \Delta_x u = \square u = 0$

Hyperbolique